

Modelo de Markowitz

.....

Aplicación de métodos numéricos

-Danahi, Yalidt e Itzel

-César, Bruno y León

Mayo 2020



¿Qué es el Modelo de Markowitz (MM)?

-Modelo financiero cuyo objetivo es encontrar el portafolio de mínima varianza (riesgo) dado un conjunto de acciones.



¿Qué proporción de dinero se debe invertir a cada acción del portafolio?

Supuestos:

- Es para inversionistas aversos al riesgo
- El inversionista se agota su presupuesto
- El rendimiento esperado debe ser positivo



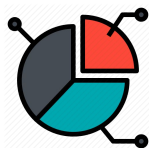
Objetivos

- Implementar solver para Modelo de Markowitz
- Usar datos financieros reales
- Diseño de solver para uso de GPU's
- Uso de Docker

Elementos de proyecto

Teoría financiera

- 50 principales empresas que cotizan en bolsa



Teoría de optimización

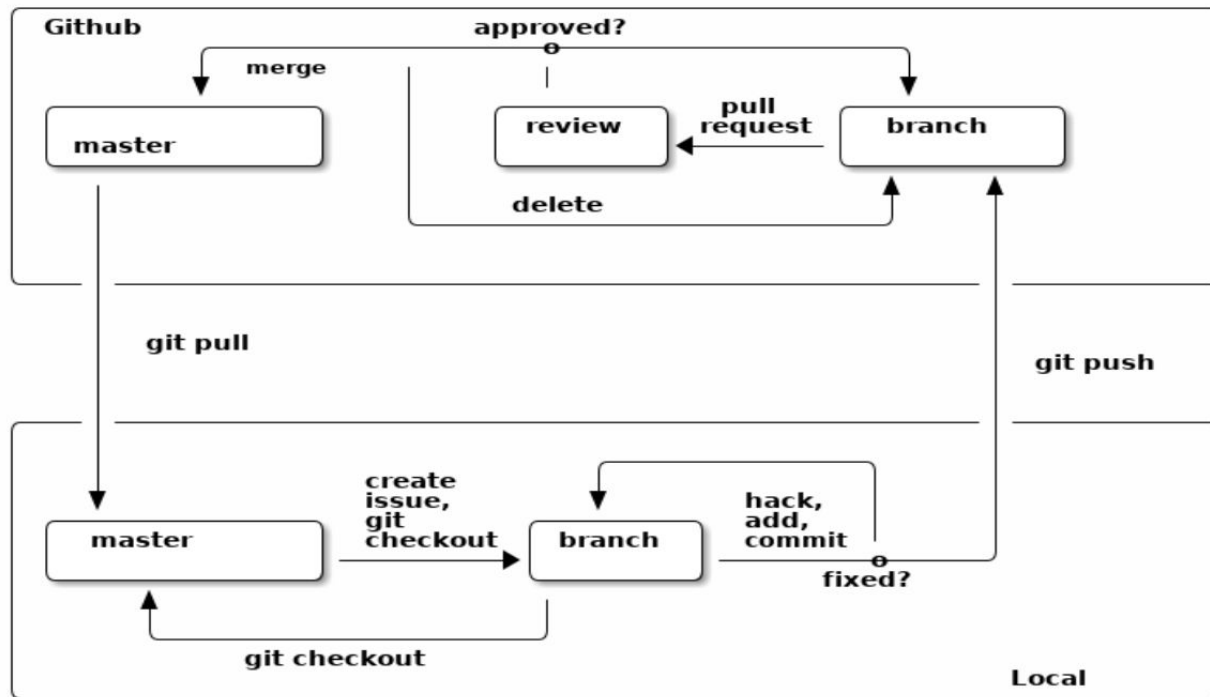
- Optimización numérica con restricciones



CuPy




Flujo de trabajo




MM como problema de optimización (CECO)

$$\min_w \text{Var}(wX) = \min_w w^T \Sigma w$$

$$w^T \cdot \mu = r$$


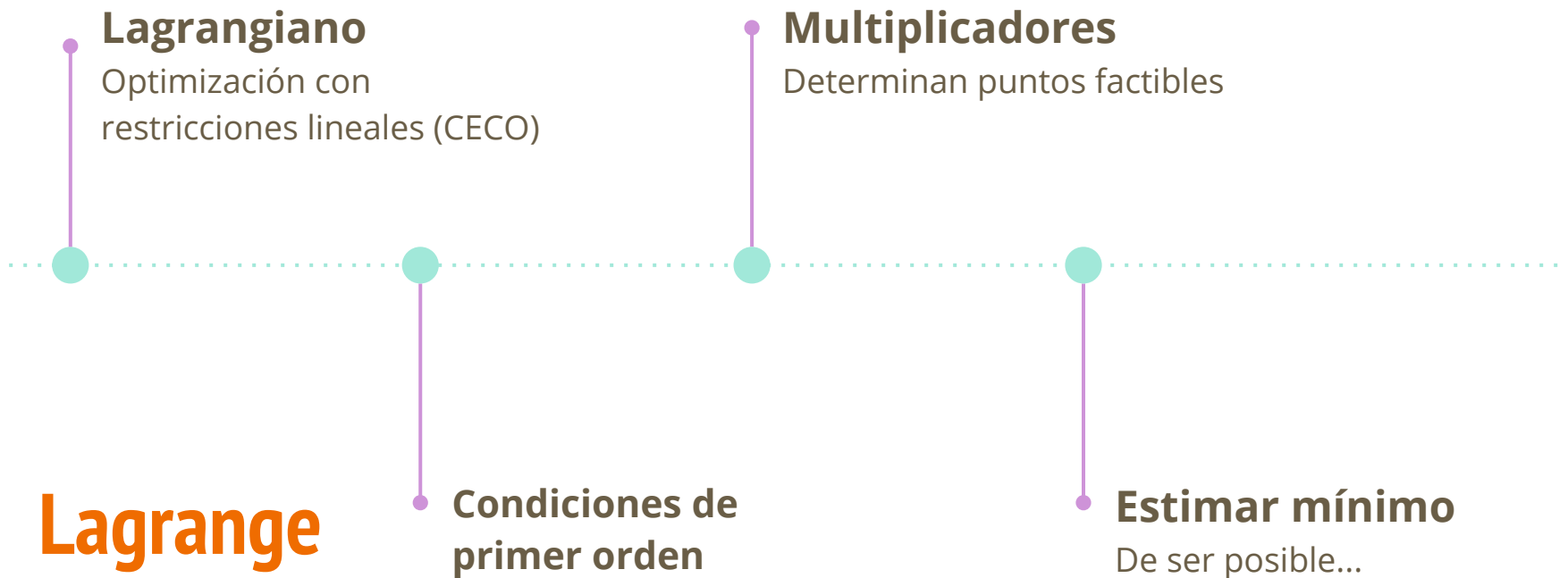
Rendimiento
esperado

$$w^T \cdot \mathbf{1} = 1$$


Suma de pesos
= 100%

Restricciones lineales

Ruta 1 de solución (explícita)



Algoritmo Lagrange (sol. explícita)

$$w^* = w_0 \cdot (\Sigma^{-1} \cdot \mu) + w_1 \cdot (\Sigma^{-1} \cdot 1)$$

$$w_0 = \frac{1}{\Delta}(\hat{r} \cdot B - C)$$

$$w_1 = \frac{1}{\Delta}(A - C \cdot \hat{r})$$

$$\Delta = A \cdot B - C^2$$

$$A = \mu^t \cdot \Sigma^{-1} \cdot \mu$$

$$B = 1^t \cdot \Sigma^{-1} \cdot 1$$

$$C = 1^t \cdot \Sigma^{-1} \cdot \mu$$

Infraestructura

Programación



CuPy



Desarrollo del código



Google Colab

Gratuito
User friendly

Ejecución final

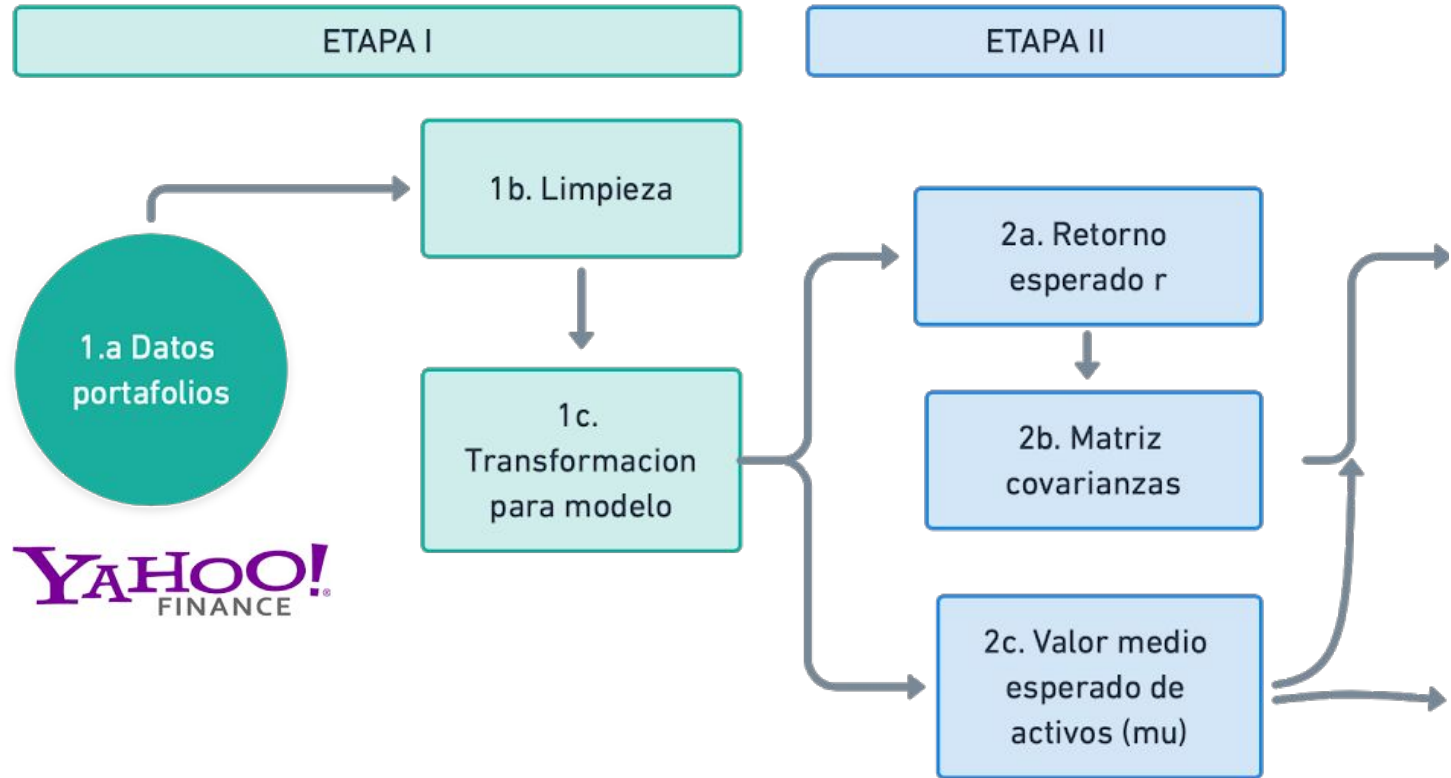


AWS

Estable
Flexible

Máquina: Deep Learning AMI (Ubuntu 18.04) Version 28.1, con tarjeta gráfica NVIDIA

Instancia: Familia GPU, tipo p2.xlarge, 4 vCPUs



YAHOO!
FINANCE

Lagrange



CuPy

ETAPA III

3a. Formacion de vectores con matriz de covarianzas

$$\hat{\Sigma}^{-1} \mathbf{1} \quad \hat{\Sigma}^{-1} \hat{\mu}$$

3b. Formacion de valores A, B, C

$$\begin{aligned} A &= \hat{\mu}^T \hat{\Sigma}^{-1} \hat{\mu} \\ B &= \mathbf{1}^T \hat{\Sigma}^{-1} \mathbf{1} \\ C &= \mathbf{1}^T \hat{\Sigma}^{-1} \hat{\mu} \end{aligned}$$

3c. Formacion de matriz Delta

$$\Delta = AB - C^2$$

3d. Vectores auxiliares

$$\begin{aligned} w_0 &= \frac{1}{\Delta} (\hat{r} \cdot B - C) \\ w_1 &= \frac{1}{\Delta} (A - C \cdot \hat{r}) \end{aligned}$$

3.e Solucion de Markowitz

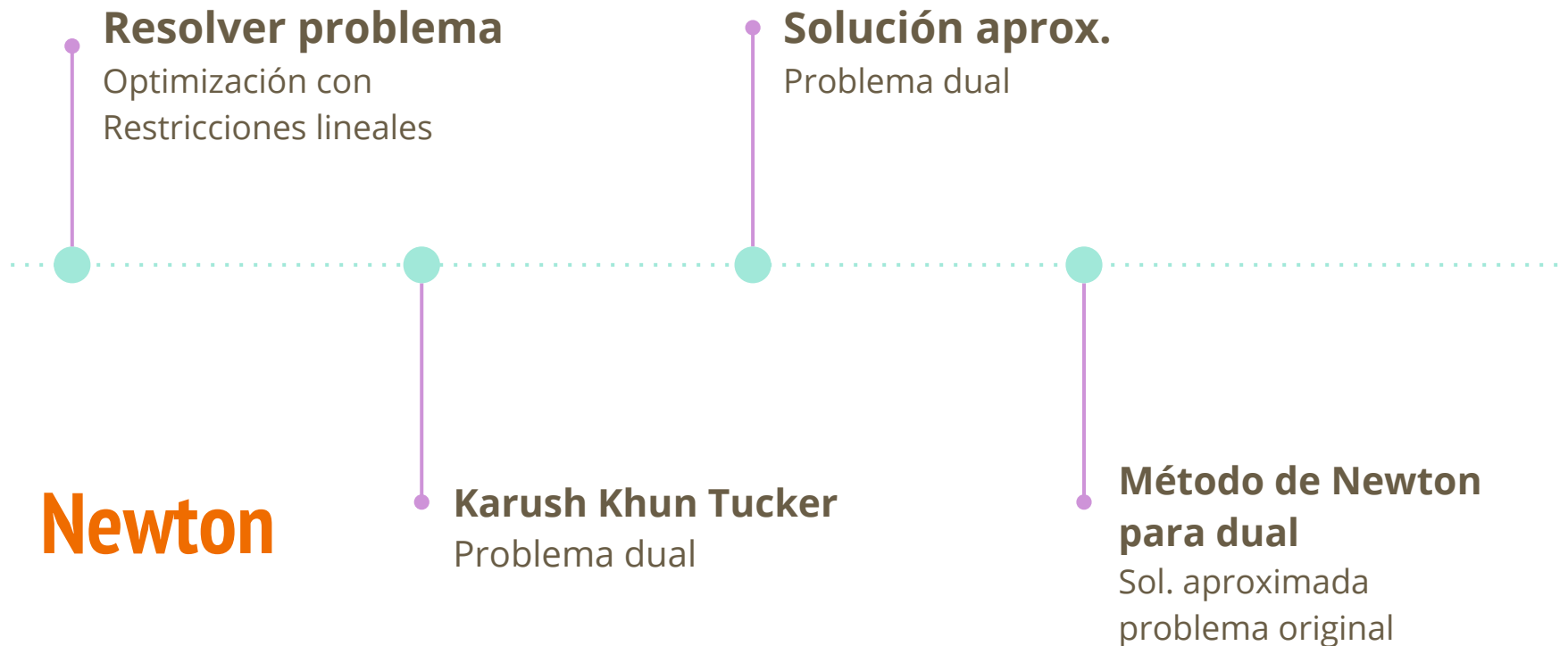
$$w^* = w_0 \cdot (\Sigma^{-1} \mu) + w_1 \cdot (\Sigma^{-1} \mathbf{1})$$

Lagrange



CuPy

Ruta 2 de solución (aproximada)



Algoritmo ruta Newton

$f : \mathbb{R}^n \rightarrow \mathbb{R}$ convexa y $\mathcal{C}^2(\text{dom } f_0)$. $x \in \mathbb{R}^n$ y $A \in \mathbb{R}^{p \times n}$, $b \in \mathbb{R}^p$

$$\text{rank}(A) = p < n$$

$$\min f_0(x)$$

$$\text{sujeto a: } Ax = b$$

$$Ax^* = b$$

$$\nabla f_0(x^*) + A^T \nu^* = 0$$

Problema Primal

Ecs. factibilidad primal y dual (KKT)

Teorema

$$x^* \in \text{dom}(f_0) \Leftrightarrow \exists \nu \in \mathbb{R}^p (Ax^* = b, A^T \nu + \nabla f_0(x^*) = 0)$$

Algoritmo ruta Newton

Teorema de Taylor para segundo orden

$$A(x + \Delta x_{\text{nt}}) = b$$

$$\nabla f_o(x + \Delta x_{\text{nt}}) + A^T w \approx \nabla f_o(x) + \nabla^2 f_o(x) \Delta x_{\text{nt}} + A^T w = 0$$

$$\begin{bmatrix} \nabla^2 f_o(x) & A^T \\ A & 0 \end{bmatrix} \cdot \begin{bmatrix} \Delta x_{\text{nt}} \\ w \end{bmatrix} = \begin{bmatrix} -\nabla f_o(x) \\ 0 \end{bmatrix}$$

Algoritmo de Newton con punto inicial para CECO

Dados un **punto inicial** x en $\text{dom} f_o$ con $Ax = b$ y una tolerancia $\epsilon > 0$.

Repetir el siguiente bloque para $k = 0, 1, 2, \dots$

1. Calcular la dirección de descenso de Newton Δx_{nt} y el decremento de Newton al cuadrado: $\lambda^2(x)$.
2. Criterio de paro: finalizar el método si $\frac{\lambda^2(x)}{2} \leq \epsilon$.
3. Búsqueda de línea. Elegir un tamaño de paso $t > 0$ (usar el cálculo de $\lambda^2(x)$ del paso anterior).
4. Hacer la actualización: $x = x + t \Delta x_{\text{nt}}$.


hasta convergencia (satisfacer criterio de paro).

Decremento de Newton


$$\lambda(x) = (\Delta x_{\text{nt}}^T \nabla^2 f_o(x) \Delta x_{\text{nt}})^{1/2}.$$

¿Cómo determinamos un punto inicial para MM?

Restricciones lineales

$$w^T \cdot \mu = r$$


Rendimiento esperado

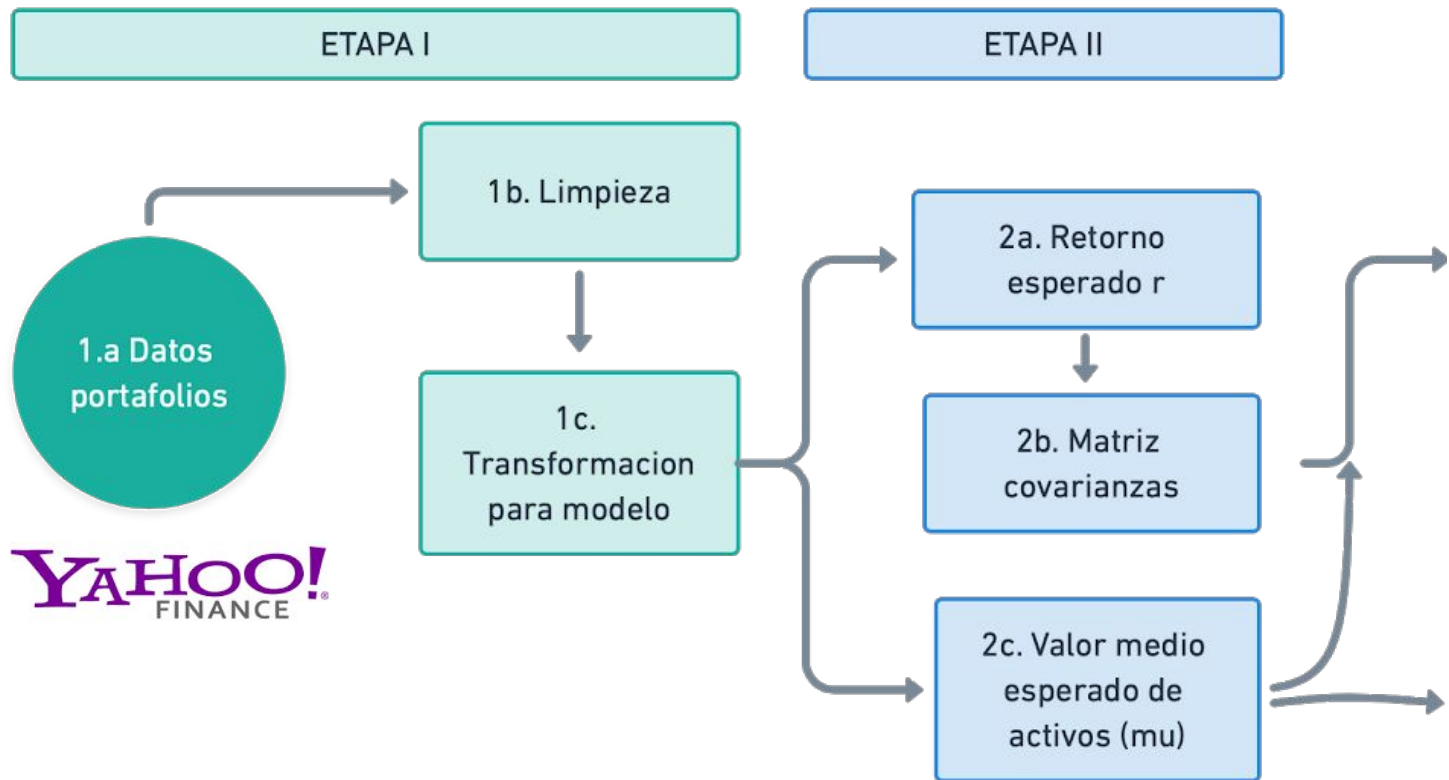
$$w^T \cdot \mathbf{1} = 1$$


Suma de pesos
= 100%

Ecuaciones normales

$$Ax = b \Rightarrow A^T Ax = A^T b$$

Newton



YAHOO!
FINANCE



CuPy

ETAPA III

3a. Formacion de punto factible para restricciones lineales



3b. Solver de problema de optimizacion con restricciones lineales basado en Metodo de Newton



3.c Solucion de Markowitz

Newton

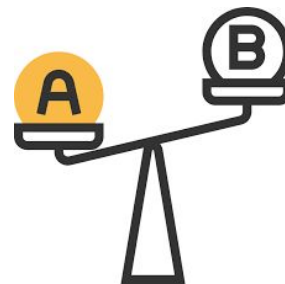


CuPy

Resultados

- 1) Comparación de métodos variando el rendimiento (0.4 a 1) con **funciones simbólicas** para las derivadas

Dist. $\ \cdot\ _2$	Dist. $\ \cdot\ _1$	retorno L	retorno	varianza L	varianza N_{fs}
			N_{fs}		
1.41113e-11	6.57346e-11	0.4	0.4	9.39764e-05	9.39764e-05
1.62202e-11	7.96734e-11	0.5	0.5	0.000125748	0.000125748
1.57851e-11	6.93323e-11	0.6	0.6	0.000165025	0.000165025
2.45899e-11	1.03308e-10	0.7	0.7	0.000211807	0.000211807
2.32235e-11	9.36646e-11	0.8	0.8	0.000266095	0.000266095
2.23753e-11	9.86439e-11	0.9	0.9	0.000327889	0.000327889
2.74735e-11	1.19941e-10	1	1	0.000397188	0.000397188

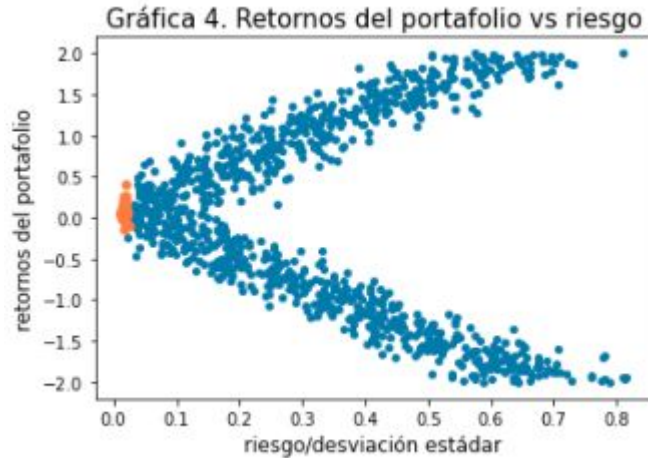


Observaciones:

- La diferencia entre los métodos aumenta conforme aumenta el rendimiento esperado
- El riesgo es el mismo al solucionar con ambos métodos con funciones simbólica.
- Al usar diferencias finitas el riesgo usualmente es menor con el método de **Lagrange**

Resultados

2) Evaluación de varianza con diferentes retornos esperados



Observaciones:

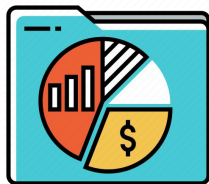
- Se encontró la formación de la frontera del modelo teórico de Markowitz
- Portafolios a partir del punto naranja son eficientes ($r > 0$)
- Se comprueba la teoría “A mayor riesgo mayor rendimiento” (*trade-off*)

Resultados

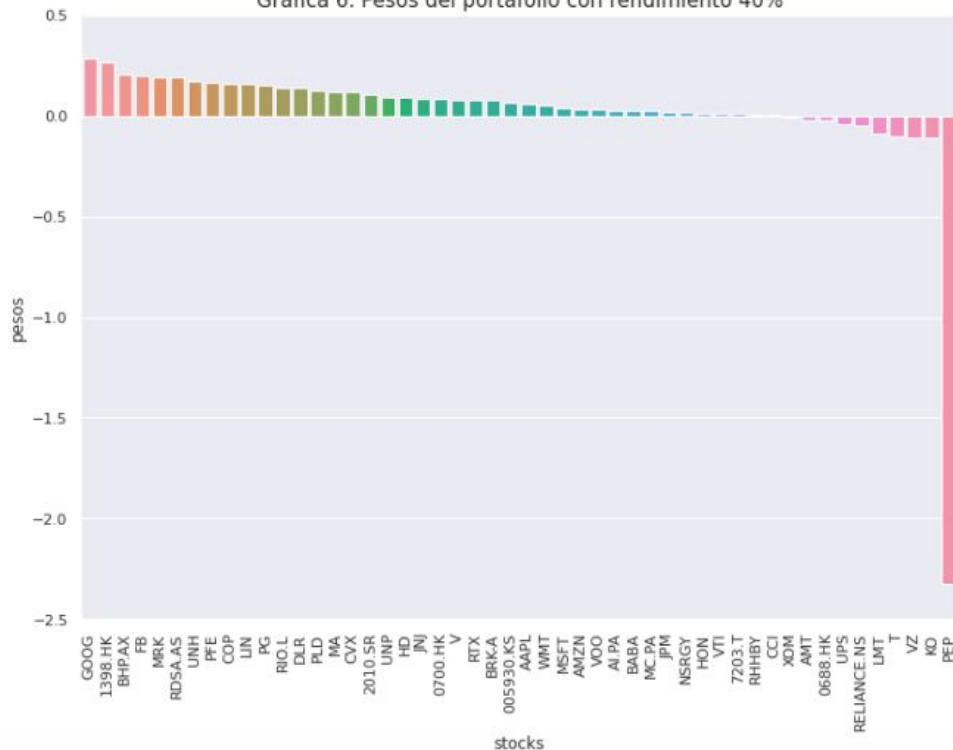
3) Evaluación del portafolio con cambios en el retorno esperado (0,1)

Observaciones:

- Las acciones que tienen mayor asignación son Google y Commercial Bank of China.
- Existen pesos negativos porque se permiten *Ventas en Corto*



Gráfica 6. Pesos del portafolio con rendimiento 40%



Conclusiones

- Se encontró la frontera eficiente de portafolios óptimos con datos reales -> a partir del PMV
 - El método que arrojó mejores resultados fue *Lagrange*
 - PMV es para inversionistas conservadores-> poco riesgo o variabilidad en las acciones.
 - Este modelo podría ser útil ante momentos económicos adversos.
-

Referencias

Bodie, Z., Kane, A., & Marcus, A. J. (2011). Investments. New York:McGraw-Hill/Irwin.https://www.niceideas.ch/airxcell_doc/doc/userGuide/portfolio_optimTheory.html

Topics in mathematics with applications in finance, MIT 18.S096, Lecture 14 Portfolio Theory, Fall 2013, Dr. Kempthorne,
https://ocw.mit.edu/courses/mathematics/18-s096-topics-in-mathematics-with-applications-in-finance-fall-2013/lecture-notes/MIT18_S096F13_lecnote14.pdf

Notas del curso de Métodos Numéricos y Optimización, ITAM, Moreno Palacios Erick, 2020
https://drive.google.com/file/d/12L7rOCgW7NEkl_xjblGZz05XXVrOaPBz/view